

М. Петрова, Э. Лиепиньш, П. Пасторс^а, М. Флейшер, В. Кампарс^а

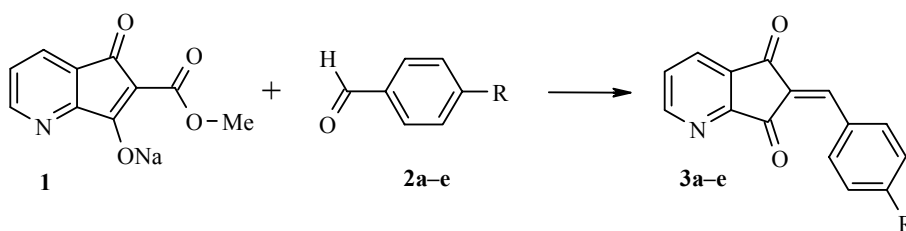
**СИНТЕЗ 2-(4'-R-БЕНЗАЛЬ)-4-АЗА-1,3-ИНДАНДИОНОВ
И ИССЛЕДОВАНИЕ ИЗОМЕРИЗАЦИИ ВОКРУГ ЭКЗОЦИКЛИЧЕСКОЙ
ДВОЙНОЙ СВЯЗИ**

Синтезированы 2-бензаль-4-аза-1,3-индандионы и исследованы их структуры методами спектроскопии ЯМР и квантовой химии в приближении AM1.

Установлено что в растворах хлороформа этих соединений происходит вращение вокруг экзоциклической формально двойной связи C(2)=C(10). Энергетические характеристики этого процесса определены экспериментально и оценены теоретически.

Ключевые слова: 2-(4'-R-бензаль)-4-аза-1,3-индандионы, внутреннее вращение, E,Z-изомерия, метод AM1, спектроскопия ЯМР.

Многие производные 1,3-индандионов, в которых имеется сопряженная π-электронная система, представляют интерес как исходные реагенты при синтезе новых материалов, используемых в молекулярной электронике и нелинейной оптике [1–4]. Продолжая систематический поиск новых соединений, потенциальных полярных молекулярных кристаллов с нелинейными оптическими свойствами, мы синтезировали ряд 2-бензаль-4-аза-1,3-индандионов. Их строение и кинетическое поведение в растворах дейтерохлороформа были исследованы методами спектроскопии ЯМР ¹H и ¹³C (табл. 1) и квантовой химии.



2, 3 a R = NO₂, b R = CN, c R = Me, d R = OMe, e R = NMe₂

Мы обнаружили, что спектры ЯМР ¹H и ¹³C соединений **3**, снятые сразу после их растворения в хлороформе, представляют собой один набор резонансных сигналов, однако по прошествии некоторого промежутка времени в спектрах начинают появляться новые сигналы, принадлежащие другому изомеру. Анализ спектров ЯМР ¹H, ¹³C и двумерных гетероядерных

Таблица 1

Данные спектров ЯМР ^1H и ^{13}C соединений 3а–е

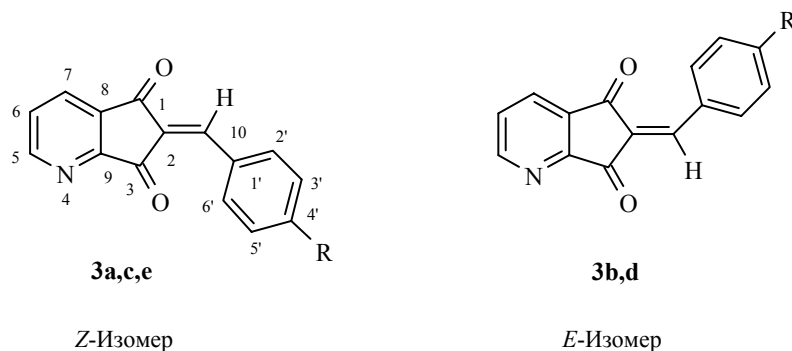
Соединение	Химические сдвиги, δ , м. д.*													
	C-1	C-2	C-3	C-5	C-6	C-7	C-8	C-9	C-10	C-1'	C-2'	C-3'	C-4'	R
<i>Z-3a</i> **	186.9	131.2	186.3	157.1 (9.16)	128.9 7.75	132.0 (8.38)	138.2	158.3	144.3 (8.01)	138.0	134.6 (8.59)	123.9 (8.37)	148.8	–
<i>E-3a</i>	186.3	131.2	187.1	157.1 (9.17)	128.9 7.75	132.0 (8.39)	137.6	159.3	144.9 (8.03)	138.0	134.6 (8.55)	123.8 (8.35)	149.8	–
<i>Z-3b</i>	187.3	130.9	187.0	157.6 (9.15)	128.9 (7.74)	131.9 (8.37)	138.1	157.6	145.6 (7.98)	136.3	134.0 (8.49)	134.4 (7.80)	116.1	118.1
<i>E-3b</i> **	186.4	130.9	188.4	157.6 (9.16)	128.4 (7.74)	132.0 (8.36)	135.4	159.3	148.0 (7.96)	136.3	134.0 (8.53)	132.5 (7.82)	116.1	118.1
<i>Z-3c</i> **	188.5	127.3	187.5	156.8 (9.09)	128.3 (7.67)	131.5 (8.30)	134.9	159.3	148.8 (8.01)	130.5	134.9 (8.43)	129.9 (7.35)	145.8	22.1 (2.45)
<i>E-3c</i>	187.0	127.3	189.6	156.7 (9.08)	128.4 (7.68)	131.4 (8.34)	137.8	157.5	149.5 (7.98)	130.4	134.9 (8.39)	129.8 (7.34)	145.7	22.0 (2.45)
<i>Z-3d</i>	188.8	126.5	187.8	156.7 (9.05)	128.3 (7.64)	131.5 (8.27)	135.0	159.6	148.6 (7.98)	125.9	138.0 (8.59)	114.9 (7.04)	165.0	55.9 (3.96)
<i>E-3d</i> **	187.3	126.6	189.9	156.8 (9.06)	128.4 (7.65)	131.4 (8.29)	137.8	157.8	149.3 (7.94)	125.9	138.0 (8.54)	114.8 (7.02)	165.1	55.9 (3.92)
<i>Z-3e</i> **	189.7	122.0	187.9	155.5 (8.98)	127.4 (7.56)	130.6 (8.18)	134.5	159.4	148.7 (7.91)	121.9	138.7 (8.57)	111.6 (6.75)	154.6	40.2 (3.16)
<i>E-3e</i>	187.7	122.0	190.6	155.3 (8.97)	127.45 (7.57)	130.5 (8.20)	137.2	157.8	149.4 (7.88)	121.9	138.7 (8.52)	111.6 (6.73)	154.6	40.2 (3.16)

* Химические сдвиги протонов при соответствующих атомах углерода приведены в скобках.

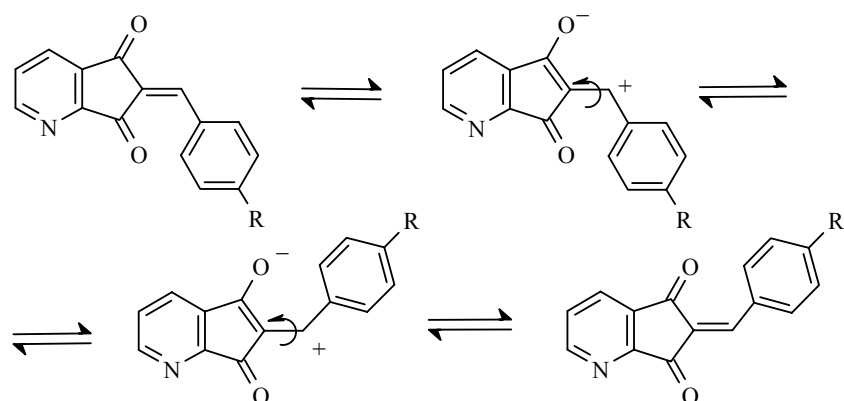
** Преобладающий исходный изомер.

корреляционных спектров $^1\text{H}-^{13}\text{C}$ -HSQC и $^1\text{H}-^{13}\text{C}$ -HMBC показал, что оба изомера различаются ориентацией 4'-R-бензильденового фрагмента относительно атома азота в индандионовой части молекулы. *цис*- и *транс*-Константы $^3J_{\text{C,H}}$ протона Н-10 с карбонильными атомами С(1) и С(3) различались в 2.5 раза и были равны 3 и 8 Гц, соответственно, в обоих изомерах. Соотнесение карбонильных атомов углерода далее выполнено с привлечением анализа взаимодействия Н(7)–С(1). Для *E*-изомера такое взаимодействие наблюдается с карбонилем, имеющим большую КССВ $^3J(^{13}\text{CO}-\text{H}(10))$, однако отсутствует у карбонила с меньшей КССВ $^3J(^{13}\text{CO}-\text{H}(10))$. Для *Z*-изомера подобные взаимодействия имеют обратную направленность: взаимодействие Н(7)–С(1) наблюдается с карбонильным атомом углерода, имеющим меньшую КССВ $^3J(^{13}\text{CO}-\text{H}(10))$, и отсутствует для карбонила с большей КССВ $^3J(^{13}\text{CO}-\text{H}(10))$. Таким образом, в молекулах соединений **3** происходят *E-Z*-изомеризация или заторможенное вращение вокруг экзоциклической формально двойной связи С(2)=С(10). Этот процесс довольно медленный в шкале времени ЯМР и через 10–12 ч в растворах соединений **3** устанавливается равновесие обоих *Z*- и *E*-изомеров, 1:1 (табл. 1).

Заторможенное вращение заместителей вокруг формально двойных связей (*E*- или *Z*-изомеризации) известно для большого числа соединений разных классов, из которых наиболее изученными в настоящее время являются пуш-пульные производные этилена и некоторые енамины [5–7]. Различные механизмы, облегчающие протекание процесса внутреннего вращения, рассмотрены Ногради [8]. В нашем случае этот процесс может быть обусловлен схемой, включающей промежуточное таутомерное превращение соединения в илид, содержащий одинарную экзоциклическую связь, вращение вокруг которой существенно облегчено.



Интересно отметить, что исходный изомер соединений **3a,c,e** соответствует *Z*-форме, а соединений **3b,d** – *E*-форме. Чем обусловлено такое различие форм в процессе кристаллизации пока не ясно.



Так как обменные процессы были относительно медленными в шкале времени ЯМР, мы определили кинетические характеристики этого процесса простым анализом интенсивностей спектров. Временная зависимость изменения интегральных интенсивностей ($I_{\text{инт}}$) в случае обоих индивидуальных изомеров (рис. 1) является типичной для реакций нулевого порядка и описывается уравнением

$$\ln[C] = \ln[C_0] - 2kt \quad (1)$$

Константы скорости динамического процесса в соединениях **3** рассчитаны по уравнению (1) (табл. 2). Барьеры вращения вокруг экзоциклической двойной связи $C(2) = C(10)$ определялись как свободные энергии активации Гиббса ΔG_{298}^\ddagger по уравнению (2) [9]:

$$\Delta G_{298}^\ddagger = 4.575T(10.319 + \log T/k) \quad (2)$$

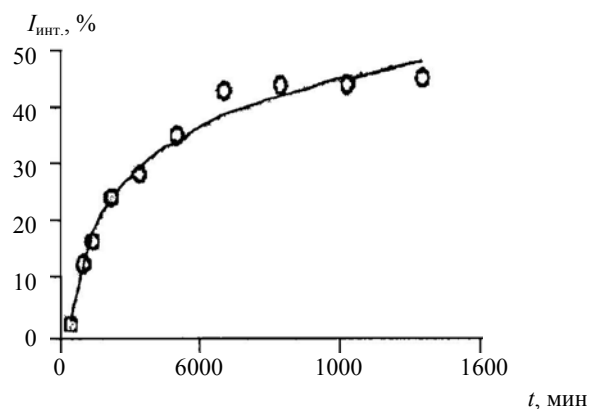


Рис. 1. Зависимость интегральной интенсивности ($I_{\text{инт}}$) сигнала протона Н-10 минорного изомера в соединении **3b** от времени (t)

При этом можно отметить незначительный рост значений $\Delta^{\#}G_{298}$ в следующей последовательности *para*-заместителей бензольного кольца: CN < NO₂ < OMe < NMe₂ < Me.

Ранее нами методом динамического ЯМР были определены барьеры вращения вокруг экзоциклической двойной связи в ряде 2-аминометиленидмедонов [10]. Относительно низкие значения последних $\Delta G^{\#}_{298} = 19.71$ и 17.94 ккал/моль были объяснены уменьшением порядка экзоциклической двойной связи C(2)=C(10) за счет увеличения вклада резонансной дипольной структуры, обусловленной *p*- π -сопряжением неподеленной электронной пары атома азота с карбонильными группами. Согласно данным табл. 3, в соединениях **3** порядок связи C(2)=C(10) даже меньше, чем в производных димедона.

Для оценки оптимальной геометрии соединений **3a–e**, а также возможности теоретического описания процесса вращения вокруг экзоциклической двойной связи C(2)=C(10) мы осуществили полуэмпирические квантово-химические расчеты в приближении AM1. Исходя из геометрии оптимизированного основного состояния, мы провели сканирование в режиме координаты реакции с шагом в 30 °С поверхности потенциальной энергии вращения вокруг связи C(2)=C(10). Барьер вращения (ΔE) определялся как разница энергий переходного и основного состояния соединения.

Результаты (рис. 2 и табл. 3) обнаруживают тенденцию к понижению барьеров с уменьшением порядка связи C(2)=C(10) при переходе от акцепторных к донорным заместителям за счет увеличения делокализации внутримолекулярного распределения заряда в молекуле. Однако эта тенденция очень незначительна, что соответствует экспериментальным данным (табл. 2).

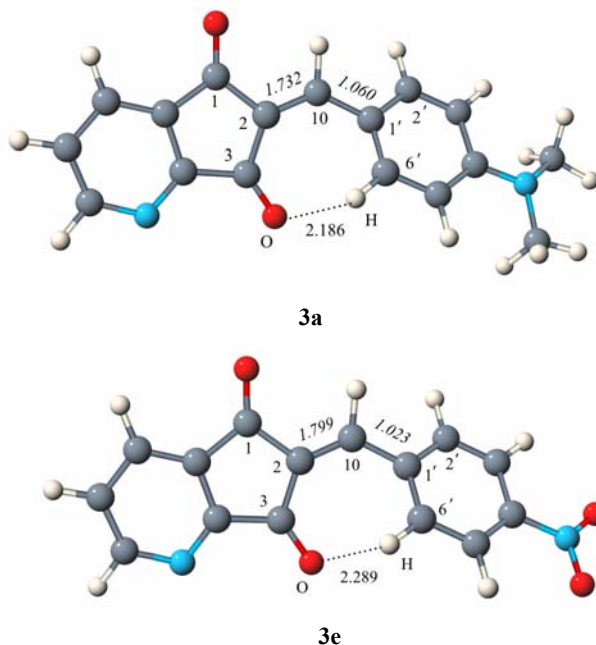


Рис. 2. Наиболее стабильные конформации соединений **3a** и **3e**, рассчитанные методом AM1 (длины связей приведены в Å, порядки связей даны курсивом).

Кинетические и термодинамические характеристики *E-Z*-изомеризации
вокруг формально двойной связи C(2)=C(10) в соединениях **3a–e**

Соединение	$k, \text{с}^{-1}$	Погрешность, с^{-1}	Коэффициент корреляции	$\Delta G_{298}^{\#}$, ккал/моль
3c	6.1	0.5	0.96	16.39
3e	7.5	0.5	0.96	16.24
3d	10.9	0.8	0.98	16.03
3a	11.5	1.4	0.93	16.01
3b	12.0	0.6	0.99	15.98

Рассчитанные значения теплот образования (ΔH_f) показывают энергетическую эквивалентность обоих *Z*- и *E*-изомеров и согласуются с экспериментальными данными ЯМР.

Другой замечательной особенностью соединений **3a–e** является значительный низкопольный сдвиг (порядка 1 м. д.) ароматических протонов H-2',6', по сравнению с *para*-замещенными стиrolами [11].

Отмеченный эффект может быть обусловлен образованием водородной связи типа C–H...O= между *орто*-протонами и карбонильной группой 1,3-индандионового фрагмента. Короткие взаимодействия типа C–H...O играют важную роль в биологии и наблюдались ранее [12]. Было установлено [13], что арильные протоны H-2',6', расположенные пространственно близко к карбонильной группе, могут испытывать слабопольный сдвиг и даже становятся неэквивалентными при замедлении заторможенного вращения фенильной группы при низких температурах. Наши исследования спектров ЯМР ^1H 2-(4'-N,N-диметиламинобензилиден)-1,3-индандионона в CDCl_3 при -65°C показали, что различие химических сдвигов для протонов в положениях 2' и 6' арильного цикла достигают 1.9 м. д. (рис. 3).

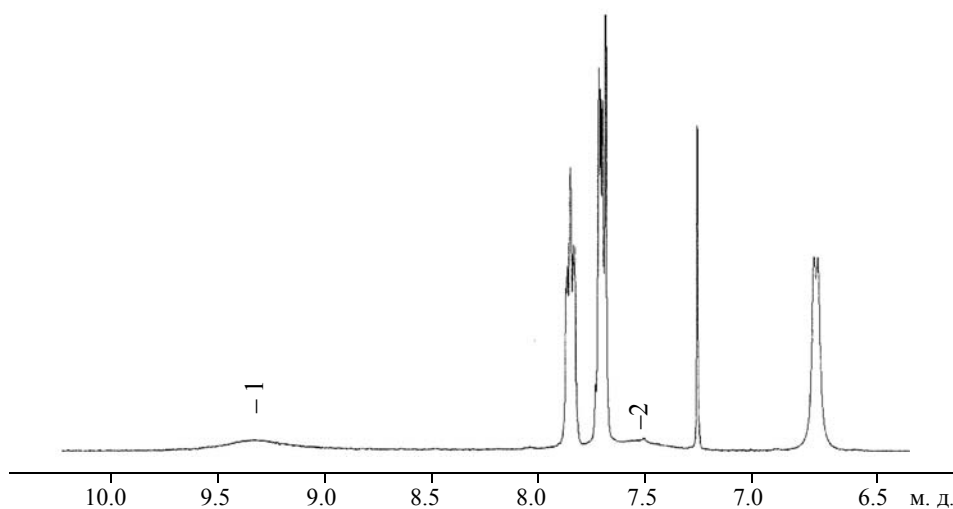


Рис. 3. Ароматическая область спектра ЯМР ^1H 2-(4'-N,N-диметиламинобензилиден)-1,3-индандионона при -65°C

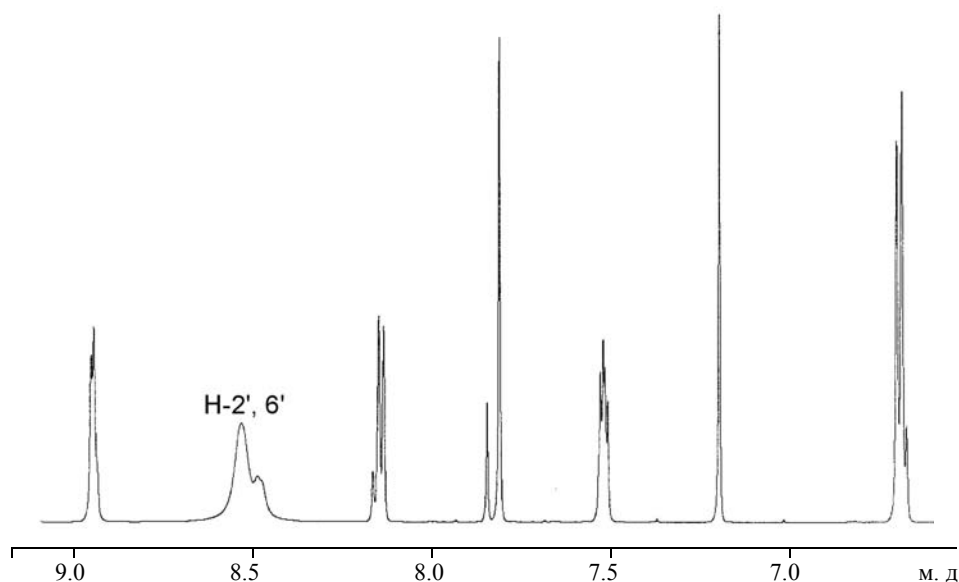
Характеристики *Z*- и *E*-изомеров соединений **3a–e**, рассчитанные методом AM1

Соединение	ΔH_f , ккал/ моль ⁻¹	ΔE_s , ккал/ моль ⁻¹	l , C=O...H-C, Å	θ , град*	N^{**} C(2)=C(10)	N^{**} C(10)-C(1')
<i>Z-3a</i>	34.43	28.49	2.289	1.2	1.799	1.023
<i>E-3a</i>	34.48		2.289	-178.9	1.799	1.023
<i>Z-3b</i>	61.75	28.19	2.266	1.6	1.785	1.029
<i>E-3b</i>	61.78		2.264	-179.2	1.786	1.029
<i>Z-3c</i>	21.56	27.66	2.235	2.3	1.763	1.039
<i>E-3c</i>	21.60		2.233	-179.8	1.763	1.039
<i>Z-3d</i>	-8.99	27.39	2.212	2.8	1.754	1.047
<i>E-3d</i>	-8.97		2.208	179.9	1.754	1.047
<i>Z-3e</i>	36.87	27.04	2.186	3.2	1.732	1.060
<i>E-3e</i>	36.96		2.180	-179.4	1.733	1.060

* Торсионный угол C(3)-C(2)-C(10)-C(1').

** *N* – порядок связей.

При описании силы водородных связей типа C–H...O часто используются геометрические характеристики. В нашем случае рассчитанные расстояния O...H–C (табл. 3) согласуются с данными спектров ЯМР ¹H. Согласно расчетам AM1, расстояние O...H–C уменьшается, а порядок связи C(10)–C(1') увеличивается при переходе от соединения **3a** к соединению **3e** (табл. 3). Наиболее короткое расстояние O(3)...H (6') (2.19 Å) и наибольший порядок связи C(10)–C(1') (1.06) наблюдаются в соединении **3e**. В этом случае резонансные сигналы протонов H-2',6' в спектре ЯМР ¹H уширены, а сами протоны уже при комнатной температуре становятся магнитно неэквивалентными (рис. 4).

Рис. 4. Ароматическая область спектра ЯМР ¹H соединения **3e** при 25 °C

Это наблюдение подтверждает факт ограничения вращения вокруг связи C(10)–C(1') ароматического кольца, обусловленное образованием внутримолекулярной водородной связи типа C=O...H–C, уже при температуре 25 °С.

ЭКСПЕРИМЕНТАЛЬНАЯ ЧАСТЬ

Спектры ЯМР ^1H и ^{13}C получали на приборе Varian UNITY INOVA (600 и 150 МГц соответственно), оснащённом криодатчиком, в CDCl_3 при температуре 25 °С. Низкотемпературные измерения проводили на приборе Varian Mercury 400 (400 и 100 МГц соответственно), оснащённом низкотемпературной приставкой. Температуру образца контролировали с точностью +0.01 °С и измеряли с помощью калиброванного образца метанола.

Химические сдвиги представлены по отношению к остаточным сигналам растворителя (^1H 7.24, ^{13}C 77 м. д.).

Спектры ^1H – ^{13}C -HMBC регистрировали с использованием техники градиентов с временем эволюции взаимодействия для генерации дальних корреляций 62.5 мс. При регистрации всех двумерных спектров использовали матрицу данных размером 4098×1024 , что обеспечивало $\tau_{2\text{max}} = 250$ мс для ^1H при регистрации по оси F2 и $\tau_{1\text{max}} = 100$ мс для ^1H или $\tau_{1\text{max}} = 50$ мс для ^{13}C при регистрации по оси F1. Для улучшения отношения сигнал–шум матрицу данных перед Фурье-преобразованием дополняли нулями дважды и умножали на косинус-функцию.

Расчёты проводили с использованием пакета программ MOPAC 6.0 [14]. Все структуры полностью оптимизированы методом AM1 [15]. Оптимизацию геометрических параметров всех структур проводили с использованием ключевых слов программы EF и PRECISE. Характер стационарных точек поверхности потенциальной энергии проверяли путем анализа колебательных частот системы. Компьютерный дизайн исследуемых структур проводили с помощью программ ChemCraft и Jmol [16, 17].

2-(4'-R-Бензаль)-4-аза-1,3-индандионы 3а–е. Нагревают 0.45 г (2 ммоль) метилового эфира 4-аза-1,3-индандион-2-карбоновой кислоты и 2 ммоль 4-R-бензальдегида в 5 мл ледяной уксусной кислоты до 70–75 °С и выдерживают при этой температуре 1 ч. Реакционную смесь оставляют при комнатной температуре на 24 ч. Фильтруют. Фильтрат упаривают в вакууме до маслообразного остатка, который кристаллизуют из изопропилового спирта. Выход соединений 40–60%.
Соединение 3а. Т. пл. ~220 °С (разл.). Найдено, %: С 64.35; Н 2.68; N 9.98. $\text{C}_{15}\text{H}_8\text{N}_2\text{O}_4$. Вычислено, %: С 64.29; Н 2.88; N 10.00.
Соединение 3б. Т. пл. ~240 °С (разл.). Найдено, %: С 73.95; Н 2.97; N 10.82. $\text{C}_{16}\text{H}_8\text{N}_2\text{O}_2$. Вычислено, %: С 73.84; Н 3.10; N 10.76.
Соединение 3с. Т. пл. ~214 °С (разл.). Найдено, %: С 76.72; Н 4.31; N 5.66. $\text{C}_{16}\text{H}_{11}\text{NO}_2$. Вычислено, %: С 77.10; Н 4.45; N 5.62.
Соединение 3д. Т. пл. ~245 °С (разл.). Найдено, %: С 72.26; Н 4.02; N 5.31. $\text{C}_{16}\text{H}_{11}\text{NO}_3$. Вычислено, %: С 72.45; Н 4.18; N 5.28.
Соединение 3е. Т. пл. ~235 °С (разл.). Найдено, %: С 73.42; Н 5.02; N 10.01. $\text{C}_{17}\text{H}_{14}\text{N}_2\text{O}_2$. Вычислено, %: С 73.37; Н 5.07; N 10.07.

Авторы выражают глубокую благодарность рецензентам настоящей статьи.

СПИСОК ЛИТЕРАТУРЫ

1. S. Jursenas, V. Gulbinas, A. Gruodis, G. Kodis, V. Kovalevskij, L. Valkunas, *Phys. Chem. Chem. Phys.*, **1**, 1715 (1999).
2. J. Gulbis, V. Kampars, *Scientific Proceedings of Riga Technical University, Material Science and Applied Chemistry*, **11**, 11 (2005).

3. V. Kampars, M. Utinans, P. Pastors, E. Kalnina, V. Grazulevicus, *Scientific Proceedings of Riga Technical University, Material Science and Applied Chemistry*, **9**, 148 (2004).
4. O. Neilands, *Latv. J. Physics Techn. Sci.*, No. 4, 28 (1998).
5. B. Benassi, C. Bertarini, E. Kleinpeter, F. Taddei, *J. Mol. Struct. (Theochem)*, **498**, 217 (2000).
6. R. R. Pappalardo, E. S. Marcos, M. F. Ruiz-Lopez, D. Rinaldi, J.-L. Rivail, *J. Am. Chem. Soc.*, **115**, 3722 (1993).
7. Н. З. Тугушева, С. Ю. Рябова, Н. П. Соловьева, В. Г. Граник, *XTC*, 781 (1994). [*Chem. Heterocycl. Comp.*, **30**, 683 (1994)].
8. М. Ногради, *Стереохимия. Основные понятия и приложения*, Мир, Москва, 1984, с. 216.
9. J. Sandstrom, *Dynamic NMR Spectroscopy*, Acad. Press, New York, 1982, p. 93.
10. М. В. Петрова, Вад. В. Негребецкий, А. Х. Рекис, А. Я. Страков, Я. Я. Паулиньш, Э. Ю. Гудринице, *Latv. Ķīm. Žurn.*, 474 (1993).
11. C. J. Pourchert, J. Behnke, *The Aldrich Library of ¹³C and ¹H FT NMR Spectra*, 1993, vol. 2.
12. J. L. Leroy, K. Snoussi, M. Gueron, *Magn. Res. Chem.*, **39**, 171 (2001).
13. M. Sigalov, A. Vashchenko, V. Khodorkovsky, *J. Org. Chem.*, **70**, 92 (2005).
14. J. J. P. Stewart, *MOPAC, Version 6; QCPE N 455*:Bloomington (1984).
15. M. J. S. Dewar, E. G. Zoebisch, E. F. Healy, J. J. P. Stewart, *J. Am. Chem. Soc.*, **107**, 3902 (1985).
16. ChemCraft: <http://chemcraft.boom.ru>
17. J Mol: <http://www.chem.columbia.edu/~gezelter>

Латвийский институт органического синтеза,
 Рига LV-1006
 e-mail: marina@osi.lv

Поступило 03.04.2007
 После переработки 30.11.2007

^aРижский технический университет,
 Рига LV-1048, Латвия
 e-mail: pauls@ktf.tru.lv